

Etude des corrections relativistes par la méthode de l'hamiltonien effectif (suite et fin)

Buts de ce cours

- Terminer le calcul de l'hamiltonien effectif.
- Interpréter physiquement les différents termes obtenus au cours de ce calcul.

PlanSuite et fin du calcul de l'hamiltonien effectif

- Calcul de l'ordre 3 T_1 à T_{11}
- Récapitulation et identification des différents termes T_{12} à T_{13}

Discussion physique

- Délocalisation de la charge due au principe de Pauli et aux effets à plusieurs particules T_{14} à T_{16}
- Interprétation des termes de Darwin T_{17}
- Réduction de la self-énergie électrostatique T_{18}
- Moment magnétique de spin T_{19}
- Nouvelle correction de self-énergie T_{20}
- Couplage spin-orbite T_{21}

Ordre 3 Calcul de[T 1]

$$-\frac{1}{8m^2c^4} P_+ [U, [U, W]] P_+ \quad \text{Théorie à 1 particule}$$

$$-\frac{1}{8m^2c^4} P_1 [U, [U, W]] P_1 \quad \text{Théorie à } N \text{ particules}$$

U et V opérateurs en 2^{me} quantification annulé.

$$U = c \vec{Z} \cdot \vec{T}_R \quad \vec{\Pi}_t = \vec{P} - e \vec{A}_0(\vec{r}) - e \vec{A}(\vec{r})$$

$$W = \mathcal{H}_R + e \phi_0(\vec{r}) \quad \mathcal{H}_R = \sum_{kE} \hbar \omega (a_{kE}^+ a_{kE} + \frac{1}{2})$$

Notations pour les potentiels et les champs

Indice 0 : potentiels et champs statiques appliqués

Pas d'indice : potentiels et champs du rayonnement quantique (voir déroulement de $\vec{A}(\vec{r})$ et $\vec{E}(\vec{r})$ T.3 page IV-2)

Indices t : potentiels et champs totaux

$$\vec{A}_t = \vec{A}_0 + A \quad \phi_t = \phi_0 \quad \vec{E}_t = \vec{E}_0 + \vec{E} - \vec{\nabla} \phi_0$$

[T 1]Quelques commutateurs utiles[T 2]faisant intervenir le rayonnement quantifié

$$[a_{kE}, a_{k'E'}^+] = \delta_{kk'} \delta_{EE'}$$

$$[a_{kE}, a_{k'E'}^-] = [a_{kE}^+, a_{k'E'}^+] = 0$$

A partir de ces commutateurs et de expressions donnant $\vec{A}(\vec{r})$, \mathcal{H}_R , $\vec{E}(\vec{r})$ en fonction des a_{kE} et a_{kE}^+ , on déduit aisément

$$[\vec{A}(\vec{r}), \vec{A}(\vec{r}')] = 0$$

$$[\vec{A}(\vec{r}), \mathcal{H}_R] = -i\hbar \vec{E}(\vec{r})$$

$$[A_i(\vec{r}), E_j(\vec{r})] = \sum_{kE} -\frac{i\hbar}{\epsilon_0 L^3} \epsilon_i \cdot \epsilon_j$$

$$= - \sum_{kE} \frac{i\hbar}{3\epsilon_0 L^3} \delta_{ij} \delta_{kk'}$$

Calcul de $[U, W]$

$$[U, W] = c [\vec{\alpha} \cdot (\vec{P} - e\vec{A}_0 - e\vec{A}), e\phi_0 + \mathcal{H}_R]$$

Le seul commutateur non nul avec ϕ_0 est

$$c[\vec{\alpha} \cdot \vec{P}, e\phi_0] = c\vec{\alpha} \cdot [\vec{P}, \phi_0] = +ie\hbar c \vec{\alpha} \cdot \vec{E}_0$$

$$-ie\hbar \vec{\nabla} \phi_0 = +ie\hbar \vec{E}_0$$

Le seul commutateur non nul avec \mathcal{H}_R est

$$c[-e\vec{\alpha} \cdot \vec{A}(\vec{r}), \mathcal{H}_R] = +ie\hbar c \vec{\alpha} \cdot \vec{E}$$

Finalement,

$$[U, W] = ie\hbar c \vec{\alpha} \cdot \vec{E}_t$$

Calcul de $[U, [U, W]]$

$$[U, [U, W]] = ie\hbar c^2 [\vec{\alpha} \cdot \vec{\Pi}_t, \vec{\alpha} \cdot \vec{E}_t]$$

D'après la formule (voir T6, page VII-2)

$$(\vec{\alpha} \cdot \vec{A})(\vec{\alpha} \cdot \vec{B}) = \vec{A} \cdot \vec{B} + i\vec{\sigma} \cdot (\vec{A} \times \vec{B})$$

on déduit aisément

$$[(\vec{\alpha} \cdot \vec{A}), (\vec{\alpha} \cdot \vec{B})] = \sum_i [A_i, B_i] + i\vec{\sigma} \cdot (\vec{A} \times \vec{B} - \vec{B} \times \vec{A})$$

T3

T4

Par suite,

$$\frac{1}{ie\hbar c^2} [U, [U, W]] = \sum_i [\Pi_{it}, E_{it}] + i\vec{\sigma} \cdot (\vec{\Pi}_t \times \vec{E}_t - \vec{E}_t \times \vec{\Pi}_t)$$

Calcul de $[\Pi_{it}, E_{it}]$

$$[\Pi_{it}, E_{it}] = [p_i - eA_{it}(\vec{r}), E_{it}(\vec{r})]$$

$$= \underbrace{[p_i, E_{it}(\vec{r})]}_{-ie\hbar \partial_i E_{it}(\vec{r})} - e \underbrace{[A_{it}(\vec{r}), E_{it}(\vec{r})]}_{[A_i(\vec{r}), E_i(\vec{r})]} \text{ voir T2}$$

$$\text{Or } \sum_i \partial_i E_{it}(\vec{r}) = \vec{\nabla} \cdot \vec{E}(\vec{r}) = 0 \text{ car}$$

le rayonnement libre est transverse

$$\sum_i \partial_i A_{it}(\vec{r}) = -\sum_i \partial_i \partial_i \phi_0(\vec{r}) = -\Delta \phi_0(\vec{r}),$$

$$\hookrightarrow \sum_i [\Pi_{it}, E_{it}] = ie\hbar \Delta \phi_0(\vec{r}) + \sum_{kE} \frac{ie\hbar}{\epsilon_0 L^3}$$

Récapitulation pour l'ordre 3et pour la théorie à 1 particule

On trouve l'hamiltonien suivant agissant dans \mathcal{E}_+

$$\begin{aligned} \mathcal{H}_{eff}^{(3)} &= \frac{e\hbar^2}{8m^2c^2} \Delta \phi_0(\vec{r}) \\ &+ \frac{e\hbar}{8m^2c^2} \vec{\sigma} \cdot [\vec{\Pi}_t \times \vec{E}_t - \vec{E}_t \times \vec{\Pi}_t] \\ &+ \sum_{kE} \frac{e^2\hbar^2}{8m^2c^2\epsilon_0 L^3} \end{aligned}$$

Un dernier terme en $\frac{1}{c^2}$ apparaît à l'ordre 4 (voir remarque T26 page VII-7)

$$- \frac{1}{8m^3c^2} [\vec{\Pi}_t^2 - e\hbar \vec{\sigma} \cdot \vec{B}_t]^2$$

T-5

Calcul de $[U, V]$ (Théorie à N particules) T-6

$$U = \sum_{\alpha\beta} (c\vec{\alpha} \cdot \vec{\Pi}_t)_{\alpha\beta} c_\alpha^+ c_\beta$$

$$W = \underbrace{\sum_{\gamma\delta} e(\phi_0)_{\gamma\delta} c_\gamma^+ c_\delta}_{W_0} + \mathcal{H}_R$$

\mathcal{H}_R agit dans l'espace de Fock des photons c'est un multiple de $\mathbb{1}$ dans l'espace de Fock des e^+ et e^- : c'est pourquoi il ne s'exprime pas en fonction des c et c^+

$$[U, W] = [U, W_0] + [U, \mathcal{H}_R]$$

$$[U, \mathcal{H}_R] = \sum_{\alpha\beta} [(c\vec{\alpha} \cdot \vec{\Pi}_t)_{\alpha\beta}, \mathcal{H}_R] c_\alpha^+ c_\beta$$

$$= \sum_{\alpha\beta} \left(\underbrace{[c\vec{\alpha} \cdot \vec{\Pi}_t, \mathcal{H}_R]}_{= ie\hbar c \vec{\alpha} \cdot \vec{E}} \right)_{\alpha\beta} c_\alpha^+ c_\beta$$

Donc

$$[U, \mathcal{H}_R] = ie\hbar c \sum_{\alpha\beta} (\vec{\alpha} \cdot \vec{E})_{\alpha\beta} c_\alpha^+ c_\beta$$

Calcul de $[U, W_0]$

D'après la formule générale (T23, page VII, 7)

$$[U, W_0] = \sum_{\alpha\beta} [U, e\phi_0]_{\alpha\beta} c_\alpha^+ c_\beta$$

$$+ \sum_{\alpha\beta\gamma\delta} [U_{\alpha\beta}, (e\phi_0)_{\gamma\delta}] c_\alpha^+ c_\beta^+ c_\gamma c_\delta$$

Mais $(e\phi_0)_{\gamma\delta}$ est un nombre qui commute avec $U_{\alpha\beta}$. Donc la 2^e ligne donne 0. Quant à la 1^e

$$[U, e\phi_0]_{\alpha\beta} = [\vec{c}_\alpha \vec{n}_t, e\phi_0] = ie\hbar c \vec{a} \cdot \vec{E}_0$$

Finalement, en regroupant les 2 résultats précédents

$$[U, W] = ie\hbar c \sum_{\alpha\beta} (\vec{a} \cdot \vec{E}_t)_{\alpha\beta} c_\alpha^+ c_\beta$$

$[U, W]$ est donc simplement l'opérateur à 1 particule associé en seconde quantification à

$$[U, W] = ie\hbar c \vec{a} \cdot \vec{E}_t$$

Réduction de $c_\alpha^+ c_\beta^+ c_\gamma c_\delta$

T-9

Réintroduisons la distinction entre les c et les b . Par suite du caractère non diagonal de \vec{a} , le produit $c_\alpha^+ c_\beta$ (associé à $U_{\alpha\beta}$) est, soit $c_\alpha^+ b_\beta^+$, soit $b_\alpha c_\beta$. De même, le produit $c_\gamma^+ c_\delta$ (associé à $(\vec{a} \cdot \vec{E}_t)_{\gamma\delta}$) est, soit $c_\gamma^+ b_\delta^+$, soit $b_\gamma c_\delta$.

Finalement, $c_\alpha^+ c_\beta^+ c_\gamma c_\delta$ comporte en fait 4 termes

$$c_\alpha^+ c_\beta^+ b_\gamma b_\delta^+ \hookrightarrow \text{crée } 2e^+ \text{ et } 2e^-$$

value moyenne nulle dans E_0 et E ,

$$b_\alpha b_\beta c_\gamma c_\delta \hookrightarrow \text{détruit } 2e^+ \text{ et } 2e^-$$

value moyenne nulle dans E_0 et E .

$$c_\alpha^+ b_\beta c_\gamma b_\delta^+$$

$$b_\alpha c_\beta^+ b_\gamma^+ c_\delta$$

Seules, les 2 dernières lignes peuvent donner une contribution dans E_0 et E ,

T-7

T-8

Calcul de $[U, [U, W]]$

Théorie à N particules

VIII-3

Toujours d'après T23, page VII-7, on obtient

$$[U, [U, W]] = \sum_{\alpha\beta} ([U, [U, W]])_{\alpha\beta} c_\alpha^+ c_\beta$$

$$+ \sum_{\alpha\beta\gamma\delta} [U_{\alpha\beta}, [U, W]_{\gamma\delta}] c_\alpha^+ c_\beta^+ c_\gamma c_\delta$$

1^e ligne : Même résultat que la 1^e ligne

2^e ligne : Terme nouveau

Calcul des commutateurs de la 2^e ligne

$$ie\hbar c^2 [(\vec{a} \cdot (\vec{p} - e\vec{A}_0 - e\vec{A}))_{\alpha\beta}, (\vec{a} \cdot (\vec{E}_0 + \vec{E}))_{\gamma\delta}]$$

Seul $(\vec{a} \cdot \vec{A})_{\alpha\beta}$ et $(\vec{a} \cdot \vec{E})_{\gamma\delta}$ ne commutent pas car ils restent des opérateurs vis à vis des photons. En utilisant les développements de \vec{A} et \vec{E} en $a_{k\epsilon}$ et $a_{k\epsilon}^+$ et les commutations T2, on obtient pour ce terme

$$- \sum_{k\epsilon} \frac{e^2 \hbar^2 c^2}{2 E_0 L^3} [(\vec{E} \cdot \vec{a} e^{ik \cdot \vec{r}})_{\alpha\beta} (\vec{E} \cdot \vec{a} e^{-ik \cdot \vec{r}})_{\gamma\delta} + \vec{k} \cdot \vec{e} - \vec{k}]$$

Valeur moyenne du nouveau terme dans E_0 (vide)

T-10

Valeur moyenne nulle. Dans la 3^e ligne, c_δ détruit un électron qui n'existe pas. Idem pour c_β dans la 4^e ligne

Valeur moyenne du nouveau terme dans E , (multiplié à 1 particule)

$$P_i c_\alpha^+ b_\gamma c_\delta b_\beta^+ P_i = - P_i c_\alpha^+ c_\delta b_\gamma b_\beta^+ P_i = \delta_{\gamma\beta} - b_\beta^+ b_\gamma$$

$b_\beta^+ b_\gamma$ agissant dans P_i donne 0 (destruction d'un positron qui n'existe pas)

$$P_i c_\alpha^+ b_\gamma c_\delta b_\beta^+ P_i = - \delta_{\gamma\beta} P_i c_\alpha^+ c_\delta P_i$$

En revenant à l'élément de matrice du commutateur (voir T8), on a

$$\sum_{\gamma\beta} [(\vec{E} \cdot \vec{a} e^{ik \cdot \vec{r}})_{\alpha\beta} (\vec{E} \cdot \vec{a} e^{-ik \cdot \vec{r}})_{\gamma\delta} \delta_{\beta\gamma} + \vec{k} \cdot \vec{e} - \vec{k}]$$

$$= 2 (\vec{E} \cdot \vec{a})_{\alpha\delta}^2 = 2 \delta_{\alpha\delta}$$

Finalement, on obtient pour la contribution de la 3^e ligne de T9

$$+ \sum_{kE} \frac{e^2 \hbar^2 c^2}{E_0 L^3} P_i \underbrace{\sum_{\alpha} C_\alpha^+ C_\alpha^-}_{} P_i$$

N_e : nombre total de e^-

$$P_i N_e P_i = P_i \quad \text{car } N_e = 1 \text{ dans } E_i$$

le calcul de la 4^e ligne de T9 conduit à 1 résultat identique

Conclusion pour $[U, [U, W]]$

Le terme nouveau introduit par la théorie à 1 particule dans le calcul de $[U, [U, W]]$ s'écrit donc finalement

$$+ \sum_{kE} \frac{2e^2 \hbar^2 c^2}{E_0 L^3} P_i$$

"Il faut en tenir compte car le vide n'est pas affecté par $[U, [U, W]]$ "

Identification des différents termes de \mathcal{H}_{eff} T-13

mc^2 : énergie au repos

\mathcal{H}_R : énergie des photons

$e\phi_0(\vec{r})$: couplage avec le potentiel électrostatisque extérieur

$V_{Coulomb}$: Self-énergie électrostatische

$\frac{\vec{p}_t^2}{2m}$: énergie cinétique

$-\frac{e\hbar}{em} \vec{\sigma} \cdot \vec{B}_t$: couplage du moment magnétique de spin avec le champ magnétique total

$\frac{e\hbar^2}{8m^2c^2} \Delta\phi_0$: terme de Darwin

$\frac{e\hbar}{8m^2c^2} \vec{\sigma} \cdot [\vec{\Pi}_t \times \vec{E}_t - \vec{E}_t \times \vec{\Pi}_t]$: couplage spin-orbite

$-\sum_{kE} \frac{E_v^0 \frac{\hbar w}{2mc^2}}{} : \text{correction à la self-énergie (effets relativistes et à plusieurs particules)}$

$-\frac{1}{8m^3c^2} [\vec{\Pi}_t^2 - e\hbar \vec{\sigma} \cdot \vec{B}_t]^2 : \text{correction "masse vitrée"}$

T-11

T-12

Récapitulation pour l'hamiltonien VIII-4 effectif dans E_i (théorie à N particules)

C'est l'hamiltonien effectif à 1 particule associé en seconde quantification à

$$\begin{aligned} \mathcal{H}_{eff} &= mc^2 + \mathcal{H}_R + e\phi_0(\vec{r}) + V_{Coulomb} \\ &+ \frac{\vec{p}_t^2}{2m} - \frac{e\hbar}{2m} \vec{\sigma} \cdot \vec{B}_t (\vec{r}) \\ &+ \frac{e\hbar^2}{8m^2c^2} \Delta\phi_0 + \frac{e\hbar}{8m^2c^2} \vec{\sigma} \cdot [\vec{\Pi}_t \times \vec{E}_t - \vec{E}_t \times \vec{\Pi}_t] \\ &- \sum_{kE} \frac{e^2 \hbar^2}{8m^2c^2 E_0 L^3} - \frac{1}{8m^3c^2} [\vec{\Pi}_t^2 - e\hbar \vec{\sigma} \cdot \vec{B}_t]^2 \end{aligned}$$

Différence avec la théorie à 1 particule :

Différence de signe pour le terme

$$-\sum_{kE} \frac{e^2 \hbar^2}{8m^2c^2 E_0 L^3} \quad (\text{voir T-5})$$

Le signe correct est le signe - et non +

Ce terme peut d'ailleurs s'écrire aussi (voir la définition de E_v^0 en T-12 page IV-4)

$$-\sum_{kE} \frac{e^2 \hbar^2}{8m^2c^2 E_0 L^3} = -\sum_{kE} E_v^0 \frac{\hbar w}{2mc^2}$$

Discussion physique

T-14

Modifications du "vide" par la présence d'un e

Dans le "vide", tous les états $E < 0$ sont occupés. Seules sont observables les déviations par rapport au vide.

Quand on rajoute un e^- d'énergie $E > 0$ par suite du principe de Pauli, les électrons du "vide" dans le même état de spin que l'on ne peuvent se trouver au même endroit.

Le principe de Pauli introduit des corrélations entre les positions de 2 fermions dans le même état de spin.

Correlations existant même en l'absence de toute interaction et liées uniquement au caractère antisymétrique de la fonction d'onde.

Par sa seule présence, et sans qu'il interagisse avec eux, un électron $E >$ repousse donc les électrons du vide dans le même état de spin. La charge totale est bien sûr conservée, mais il y a appariition d'une distribution de charge délocalisée autour de l'électron.

Expression quantitative de l'idée précédente

T-15 T-16

VIII.5

Etude de la fonction de corrélation de la densité : $\langle \rho(\vec{r}) \rho(\vec{r}') \rangle = G(\vec{r} - \vec{r}')$

- Calcul dans la théorie à 1 particule
- Calcul dans la théorie à N particules

(Voir V. WEISSKOPF, Phys. Rev. 56, 72 (1939))
(Théorie à 1 particule)

- Dans le 1^{er} cas, on trouve $e^2 \delta(\vec{r} - \vec{r}')$: charge ponctuelle
- Dans le 2nd cas (Théorie à N particules) on trouve une fonction de largeur t_0/mc qui s'exprime à partir d'une fonction de Heinkel de 1^{re} espèce

Distribution de charge délocalisée s'étendant sur des dimensions de l'ordre de la longueur d'onde de Compton t_0/mc

Conclusion : dans la théorie à N particules, à un électron d'énergie $E > 0$ est associé une distribution de charge délocalisée sur un volume de l'ordre de $(t_0/mc)^3$

Interprétation du terme de Darwin

T-17

T-18

Lorsqu'un potentiel électrostatique externe ϕ_0 interagit avec un électron d'énergie $E > 0$, il interagit en fait avec la distribution de charge délocalisée décrite précédemment. Il faut donc ajouter à $e\phi_0(\vec{r})$ un terme faisant intervenir les dérivées secondes de $e\phi_0$ multipliées par le carré de la dimension de la distribution de charge, c.-à-d. t_0^2/m^2c^2 . On retrouve ainsi le terme de Darwin $\frac{e t_0^2}{8m^2c^2} \Delta \phi_0$.

Analogie avec le moyennage de ϕ_0 dû à la vibration de e dans les fluctuations du vide. Mais la délocalisation de l'électron a ici une origine autre que les fluctuations du vide. C'est la corrélation spatiale avec les électrons du vide associée au principe de Pauli.

Remarque : on ne tient pas compte ici de la perturbation des électrons du vide par le potentiel ϕ_0 appliqué. Effet apparaissant aux ordres supérieurs (polarisation du vide).

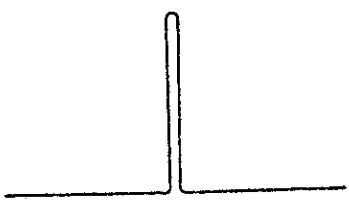


FIG. 1a. Schematic charge distribution of the electron.

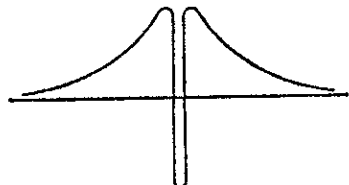


FIG. 1b. Schematic charge distribution of the vacuum electrons in the neighborhood of an electron.

Figure extraite de l'article de V. WEISSKOPF cité plus haut

Réduction de la self-énergie électrostatique

La délocalisation de la charge discutée plus haut est également responsable d'une réduction de la self-énergie électrostatique

Effet non calculé ici puisqu'on ne tient pas compte de V coulombs aux ordres supérieurs à 1 (de toute façon, la coupure à $t_0/k_{\text{B}} \ll mc^2$ introduit dans le calcul de V coulombs une longueur caractéristique $1/k_{\text{B}} \gg t_0/mc$)

Résultat du calcul complet (tenant compte des masques relativistes $t_0 w \gg mc^2$) : la divergence de la self-énergie électrostatique passe d'une divergence linéaire

$$C^2 k_m = \alpha m c^2 \cdot \frac{t_0 c k_m}{mc^2}$$

à une divergence logarithmique

$$\frac{\alpha}{\pi} m c^2 \log \frac{t_0 c k_m}{mc^2}$$

le moment magnétique de spin

Le calcul précédent a fait apparaître à l'ordre 2 un moment magnétique de spin avec un facteur $g = 2$

Impossibilité de comprendre ce moment magnétique comme résultant de la rotation d'un corps chargé sur lui-même (on trouverait $g = 1$)

Importance des effets à plusieurs particules. La présence d'un électron $E > 0$ dans un état de spin $| \uparrow \rangle$ induit une distribution de charge autour de lui (effet du principe de Pauli). Cette distribution de charge n'est pas statique. Elle tourne autour de l'électron (dans le sens direct si le spin est dans l'état \uparrow). Contribution de cette circulation de charge au moment magnétique de l'ensemble ? (Problème à approfondir)

Couplage spin-orbite

Calculons tout d'abord l'interaction du moment magnétique de spin \vec{M}_S avec le champ magnétique motional \vec{B}_{mot} "vu" par le spin par suite de son déplacement à la vitesse v dans le champ électrique total \vec{E}_t : $-\vec{M}_S \cdot \vec{B}_{\text{mot}}$

$$\vec{B}_{\text{mot}} = -\frac{1}{c^2} \vec{v} \times \vec{E}_t$$

Or $\vec{v} = \frac{\vec{P}_t}{m}$, et l'opérateur hermitien associé à $\vec{v} \times \vec{E}_t$ est

$$\frac{1}{2m} (\vec{P}_t \times \vec{E}_t - \vec{E}_t \times \vec{P}_t)$$

En remplaçant \vec{M}_S par $\frac{e\hbar}{2m} \vec{\sigma}$, on trouve

$$-\vec{M}_S \cdot \vec{B}_{\text{mot}} = \frac{e\hbar}{4m^2 c^2} \vec{\sigma} [\vec{P}_t \times \vec{E}_t - \vec{E}_t \times \vec{P}_t]$$

Résultat qui coïncide avec celui de T-12 à un facteur 2 près.

Origine de ce facteur 2 : le référentiel au repos de l'électron n'est pas un référentiel d'inertie, et il apparaît dans ce référentiel un couple d'inertie, d'origine cinétique, et dont il faut tenir compte (precession de Thomas).

[T-19]

[T-20]

Termes

$$- \sum_{KE} \frac{E_0^2 \hbar^2 w}{2mc^2}$$

VIII-6

Nouveau terme de self énergie lié aux effets à plusieurs particules et aux relations de commutation des champs quantiques :

Il apparaît avec un signe - (et non avec un signe + comme c'est le cas dans la théorie à 1 particule)

On retrouve là encore que les effets à plusieurs particules réduisent la self énergie calculée dans la théorie à une particule.

Résultat du calcul complet (tenant compte des modes $KE \geq mc^2$) : la divergence de la self-énergie totale (electrostatique + celle due aux fluctuations du vide + magnétique) est logarithmique.